

С 323.4 + С 332.1

20/13-65

B-501

ОБЪЕДИНЕННЫЙ  
ИНСТИТУТ  
ЯДЕРНЫХ  
ИССЛЕДОВАНИЙ

Дубна

P - 2300



Л А Б О Р А Т О Р И Я Т Е О Р Е Т И ЧЕ С К О Й Ф И З И К И

П. Винтернитц, А.А. Макаров, Нгуен Ван Хьеу,  
Л.Г. Ткачев, М. Углирж

МЕЗОННЫЙ ТОК  
В НАРУШЕННОЙ СИММЕТРИИ  $\tilde{U}$  (12)  
И ОПЫТЫ НА ВСТРЕЧНЫХ ПУЧКАХ

29, 1966, 73, 64, с 722 - 725.

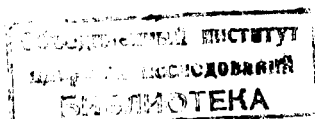
1965

P - 2900

П. Винтернитц, А.А. Макаров, Нгуен Ван Хьеу,  
Х/ Л.Г. Ткачев<sup>x/</sup>, М. Углиэрж

МЕЗОННЫЙ ТОК  
В НАРУШЕННОЙ СИММЕТРИИ  $\tilde{U}$  (12)  
И ОПЫТЫ НА ВСТРЕЧНЫХ ПУЧКАХ

Направлено в журнал "Ядерная физика"



<sup>x/</sup> Прикомандирован из Саратовского государственного университета.

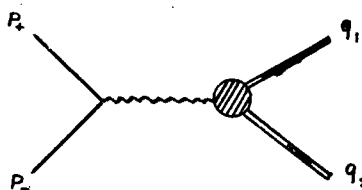
Группы  $SL(6)$  и  $\tilde{U}(12)$ , предложенные рядом авторов<sup>/1/</sup> как релятивистское обобщение  $SU(6)$  симметрии, дают удобный метод построения матричных элементов реакций элементарных частиц. Этот метод был применен в многочисленных работах<sup>/2/</sup> для предсказания соотношений между сечениями или вероятностями различных процессов.

Ниже написаны выражения для амплитуды рассеяния и матричного элемента тока. Будучи инвариантами относительно группы  $\tilde{U}(12)$ , они содержат как "регулярные", так и "нерегулярные" структуры. Последние образованы не только из волновых функций начального и конечного состояний, но и из импульсов, преобразующихся по регулярному представлению  $\tilde{U}(12)$ .

В настоящей работе мы изучаем общую структуру матричного элемента векторного тока мезонов, преобразующихся по 143-мерному представлению группы  $\tilde{U}(12)$ . Далее этот ток применяется для получения соотношений между сечениями рождения пар мезонов в опытах с встречными электрон-позитронными пучками

$$e^+ + e^- \rightarrow M_1 + M_2 .$$

В высшем порядке по  $e^2$  им соответствует диаграмма



Здесь электрон и позитрон с импульсами  $p_-$  и  $p_+$ , соответственно, мезоны с импульсами  $q_1$  и  $q_2$ . Матричный элемент реакции (1) есть

$$M = v (-p_+) \gamma_\mu u(p_-) \frac{\delta^{\mu\nu}}{\ell^2} j_\nu . \quad (2)$$

где  $u(p_-)$  и  $v(-p_+)$ -волновые функции электрона и позитрона, межуточного фотона;  $j_\mu$ -векторный мезонный ток, имеющий вид

$$j_\mu = (\gamma_\mu \lambda^a)^\frac{B}{A} J_B^A. \quad (3)$$

Здесь  $\lambda^a = \frac{1}{\sqrt{3}}(\lambda_3 + \frac{1}{\sqrt{3}}\lambda_8)$  - зарядовая матрица SU(3),  $J_B^A$ -полный мезонный ток, содержащий все члены, построенные из волновых функций мезонов  $\Phi_{1B}^A$ ,  $\Phi_{2D}^C$  и 143-мерных импульсов  $L_B^A = (Q_3 + Q_1)_B$  и  $K_B^A = (Q_3 - Q_1)_B$ , которые преобразуются по присоединенным представлениям  $U(12)$ . Обобщенные уравнения Баргмана-Вигнер-<sup>/3/</sup>, которым подчиняются функции  $\Phi_1$  и  $\Phi_2$  и условие

$$K_{1B}^A K_{2C}^B + K_{1C}^B K_{2B}^A = 2\delta_C^A(k_1 k_2),$$

где  $K_1$  и  $K_2$ -произвольные импульсы, ограничивают число структур до 20. Требование эрмитовости тока

$$\langle q_2 | J_B^A | q_1 \rangle = \langle q_1 | J_A^B | q_2 \rangle \quad (4)$$

уменьшает это число до 13. Так как в дальнейшем нам придется иметь дело только с векторным током, мы должны потребовать выполнения условия сохранения векторного тока

$$K_A^B J_B^A = 0, \quad (5)$$

которое оставляет неисчезающими только 8 структур из 13. Наконец, следует учесть тот факт, что электрический ток <sup>/3/</sup> имеет определенные трансформационные свойства при зарядовом сопряжении, которые выражаются соотношением

$$C J_B^A C^{-1} = +J_A^B. \quad (6)$$

Здесь  $C$ -матрица зарядового сопряжения. Мезонный ток, удовлетворяющий требованиям (4)-(6), содержит только 4 члена, а именно:

$$\begin{aligned} J_B^A &= f_1(\Phi_{2C}^A \Phi_{1B}^C + \bar{\Phi}_{2B}^C \Phi_{1C}^A) \\ &+ \frac{if_2}{\mu} (\Phi_{2C}^A \Phi_{1D}^C K_B^D - K_C^A \bar{\Phi}_{2D}^C \Phi_{1B}^D + \bar{\Phi}_{2D}^C \Phi_{1C}^A K_B^D - K_C^A \bar{\Phi}_{2B}^D \Phi_{1D}^C) + \\ &+ \frac{f_3}{\mu^2} (K_C^A \bar{\Phi}_{2D}^C \Phi_{1B}^D K_B^E + K_C^A \bar{\Phi}_{2E}^D \Phi_{1D}^C K_B^E) \\ &+ \frac{f_4}{\mu^2} (K_B^C \bar{\Phi}_{2D}^A K_E^D \Phi_{1D}^B + \bar{\Phi}_{2E}^D K_D^C \Phi_{1B}^C + \bar{\Phi}_{2B}^C K_C^D \Phi_{1D}^E + \bar{\Phi}_{2E}^D K_D^C K_B^C \Phi_{1C}^A), \end{aligned}$$

$\ell$ -импульс про-

где  $f_i$ -вещественные формфакторы, зависящие только от переданного импульса  $k$ ,  $\mu$ -масса мезона. Подчеркнем, что условие (6) для векторного мезонного тока оказывается существенно нетривиальным, в то время как для барийонного векторного тока условия (4) и (6) совпадают. Подставляем в (7) явный вид мезонной волновой функции

$$\Phi_B^A = p_B^\alpha [(1 - \frac{iq}{\mu})^\alpha \gamma_5]_\phi^\alpha \phi + v_B^\alpha [(1 - \frac{iq}{\mu}) \gamma_\mu]_\beta^\alpha \xi_\mu^\beta \quad (8)$$

и проектируем импульс на физическое импульсное пространство

$$K_B^A \rightarrow \delta_B^\alpha k_\beta^\alpha. \quad (9)$$

После подстановки (7)-(9) в (3) оказывается, что только два формфактора  $F_1 = f_1 - \frac{k^2}{\mu^2} f_2$  и  $F_2 = f_2$  дают вклад в векторный ток <sup>x/</sup>. В результате получаем мезонный ток

$$\begin{aligned} j_\mu &= \frac{4i}{\mu} (F_1 - \frac{k^2}{\mu^2} F_2) (\bar{p}_F p_F \lambda) k_\mu - \\ &- 4i \{ (F_1 + 4F_2) [\xi_\mu^+(\bar{k}\xi) + \xi_\mu^-(k\xi^+)] - \frac{2}{\mu^2} F_2 (k\xi^+) (k\xi) k_\mu - \\ &- (F_1 - \frac{k^2}{\mu^2} F_2) (\xi^+\xi) k_\mu \} (\bar{v}_F v_F \lambda) + \frac{2}{\mu^2} (F_1 + 4F_2) \epsilon_{\rho\sigma\mu\rho} \ell_\rho k_\sigma. \end{aligned} \quad (10)$$

где  $(\bar{p}_F p_F \lambda) = Sp(\bar{p}_F p_F \lambda - p_F \bar{p}_F \lambda)$ ,  $(p_F \bar{p}_F \lambda) = Sp(p_F \bar{p}_F \lambda + p_F \bar{p}_F \lambda)$

Очевидно, что для вершины с парами  $P+P$  или  $V+V$  предсказания  $\bar{U}(12)$  совпадают с предсказаниями  $SU(3)$ . Однако, если рассматривать все вершины пар  $V+V$ ,  $V+P$  и  $P+P$ , то симметрия  $\bar{U}(12)$  дает новые предсказания по сравнению с  $SU(3)$ : в симметрии  $SU(3)$  имеется 5 независимых формфакторов, в  $\bar{U}(12)$  эти 5 формфакторов выражаются через две независимые функции  $F_1$  и  $F_2$ .

Полученное выражение (10) позволяет вычислить квадрат матричного элемента реакции (1), усредненный по спиновым состояниям в начале и просуммированный по конечным. Ток (10) написан для рассеяния. Переходя к кросс-каналу, можно вычислить полные сечения возможных реакций, выраженные через две инвариантные функции  $F_1$  и  $F_2$ , зависящие только от энергии  $E$  сталкивающихся электрона и позитрона.

<sup>x/</sup> Для других токов, в частности для аксиального, все дают независимые вклады.

<sup>xx/</sup> При интегрировании по фазовому объему мы не считаем массы мезонов одинаковыми.

$$\sigma(E) = a \frac{\epsilon_1 \epsilon_2 \sqrt{\epsilon_1^2 - \mu^2}}{E} \left\{ \left( (F_1 + \frac{E^2}{\mu^2} F_2) (\bar{v}_p \bar{v}_D \lambda) \right)^2 + \left( (F_1 + 4F_2) \right)^2 \frac{4E^2 (E^2 + \mu^2)}{\mu^4} + \right. \\ \left. + \left( F_1 + \frac{E^2}{\mu^2} F_2 \right)^2 \frac{3\mu^4 - 4E^2 \mu^2 + 4E^4}{\mu^4} + (F_2)^2 \frac{64E^4 (E^2 - \mu^2)}{\mu^6} - (F_1 + 4F_2)(F_1 + \frac{E^2}{\mu^2} F_2) \right). \right. \\ \left. \frac{4E^2 (2E^2 - \mu^2)}{\mu^4} + (F_1 + 4F_2) F_2 \frac{32E^4 (E^2 - \mu^2)}{\mu^6} - (F_1 + \frac{E^2}{\mu^2} F_2) F_2 \frac{32E^2 (2E^2 - \mu^2 (E^2 + \mu^2))}{\mu^6} \right. \\ \left. + |\bar{v}_p \bar{v}_D \lambda|^2 - (F_1 + 4F_2)^2 (|\bar{v}_p \bar{v}_D \lambda|^2 + |\bar{p} v_D \lambda|^2) \frac{2E^2}{\mu^2} \right\} \quad (11)$$

где  $a = \text{const}$ ,  $\epsilon_1 = \frac{\mu^2 - \mu_1^2 + E^2}{2E}$ ,  $\epsilon_2 = \frac{\mu^2 - \mu_2^2 + E^2}{2E}$ .

К сожалению, в настоящее время мы не располагаем экспериментальными данными, с которыми мы могли бы сравнить наши предсказания. Известно<sup>/4/</sup>, что для трехвостки (адронные распады баронов) предсказания  $\tilde{U}(12)$  неплохо согласуются с экспериментом. Мы применили  $U(12)$  по сути дела также к трехвостке, а поэтому сравнение с опытом здесь может иметь смысл.

Симметрия  $\tilde{U}(12)$ , как можно показать из формулы для тока (10), запрещает радиационные распады векторных мезонов (матричный элемент обращается в нуль при одинаковых массах). Если учесть разность масс, то эти распады не будут запрещены. Унитарная часть в члене, описывающем радиационные распады, из которой можно было бы сделать предсказания о соотношениях между вероятностями, содержит только  $D$ -связь. Эти предсказания полностью совпадают с результатами, полученными в работе<sup>/5/</sup> на основе квазивибронной  $SU(8)$ . В действительности, все эти соотношения следуют лишь из  $U(3)$  и не требуют применения более широкой симметрии.

В заключение авторы благодарят Я.А. Смородинского за плодотворные обсуждения.

#### Л и т е р а т у р а

1. A.Salam, R.Delbourgo, J.Strathdee. Proc. Roy. Soc., A284, 146 (1965).  
R.Delbourgo, M.A.Rashid, A.Salam, J.Strathdee. Proc. Roy. Soc., A285, 312 (1965).
2. B.Sakita, K.C.Wall. Phys. Rev. Lett., 14, 404 (1965).
3. M.A.Beg, A.Pais. Phys. Rev., 137, B1514 (1965).
4. W.Rühl. Nuovo Cim., 37, 301, 319 (1965); Phys. Lett., 15, 99, 101, 340 (1965).
5. J.M.Charap, P.T.Mathews. Phys. Lett., 16, 95 (1965).

Нгуен Ван Хьеу, Я.А. Смородинский. Препринт ОИЯИ Р-2067, 1965.

П. Винтерхильдт, А.А. Макаров, Нгуен Ван Хьеу, Л.Г. Ткачев, М. Углирж.  
Препринт ОИЯИ Е-2184, 1965.

2. W.Rühl. Phys. Lett., 15, 99, 101, 340 (1965).  
E.Hussain, P.Rotelli. Phys. Lett., 16, 183 (1965). Oehme, R. Phys. Lett., 15, 284 (1965).  
П. Винтерхильдт, А.А. Макаров, Нгуен Ван Хьеу, Л.Г. Ткачев, М. Углирж.  
Препринт ОИЯИ Е-2248, 1965.
3. V.Bargmann and Wigner E. Proc. Nat. Acad. Sci., 34, 211 (1948).
4. R.Oehme. Phys. Lett., 15, 284 (1965). Preprint EFINS 65-37.  
Б.Б. Беляев, Дао Вонг Дых, Нгуен Ван Хьеу. Препринт ОИЯИ Р-2228, 1965.
5. V.V.Anisovich, A.A.Ansel'm, Ya.I.Azimov, G.S.Danilov, and I.T.Dyatlov. Phys. Lett., 16, 194 (1965).

Рукопись поступила в издательский отдел  
21 июля 1965 г.